

มัลติยูสเซอร์ดีเทกชันแบบป้อนกลับที่ใช้กระบวนการปรับอัตโนมัติชนิดบอด

เนื่องจากความซับซ้อนในการคำนวณเมตริกซ์ของมัลติยูสเซอร์ดีเทกชันแบบป้อนกลับจึงมีผู้เสนอให้ใช้กระบวนการปรับอัตโนมัติโดยมีการส่งเทรนนิงซีแควนซ์ช่วยดั่งที่กล่าวมาแล้วในบทที่ 2 แต่อย่างไรก็ตาม ปกติแล้วระบบ DS-CDMA เป็นระบบที่ไม่มีการส่งเทรนนิงซีแควนซ์ ดังนั้น การเพิ่มเทรนนิงซีแควนซ์เข้าไปในระบบจะต้องมีการเปลี่ยนแปลงเฟรมในการส่งข้อมูล นอกจากนี้ การที่ผู้ใช้ทุกคนในระบบต้องทำการส่งเทรนนิงซีแควนซ์ให้สถานีฐานทุกๆครั้งที่มีการเปลี่ยนแปลงในระบบ เช่นกรณีที่มีผู้ใช้เข้าออกระบบ จะก่อให้เกิดความสูญเปล่าในการรับส่งข้อมูล วิทยานิพนธ์ฉบับนี้จึงได้เสนอมัลติยูสเซอร์ดีเทกชันแบบป้อนกลับซึ่งมีกระบวนการปรับค่านำหนักกว้างแบบบอด(ไม่ต้องส่งเทรนนิงซีแควนซ์)แทน และจะเรียกเครื่องรับนี้สั้นๆว่ามัลติยูสเซอร์ดีเทกชันแบบป้อนกลับชนิดบอดตลอดทั้งวิทยานิพนธ์นี้

เนื้อหาในบทนี้จะกล่าวถึงการนำอัลกอริทึม bootstrap ซึ่งเป็นอัลกอริทึมปรับอัตโนมัติแบบบอดซึ่งถูกเสนอใช้ในคิเคอริเทเตอร์มาใช้ในกระบวนการปรับอัตโนมัติของวงจรกรองป้อนไปข้างหน้า และกล่าวถึงการประยุกต์ใช้อัลกอริทึม ISIC (ISI Cancellation) ซึ่งเป็นกระบวนการปรับอัตโนมัติแบบบอดซึ่งถูกเสนอใช้ในการแก้ไขปัญหา ISI (Intersymbol Interference) ในส่วนป้อนกลับของเครื่องรับแบบผู้ใช้เดี่ยว (single user) มาใช้ในการปรับน้ำหนักกว้างของวงจรกรองป้อนกลับของมัลติยูสเซอร์ดีเทกชันแบบป้อนกลับเพื่อกำจัด MAI ส่วนที่เหลือ

3.1 อัลกอริทึม bootstrap

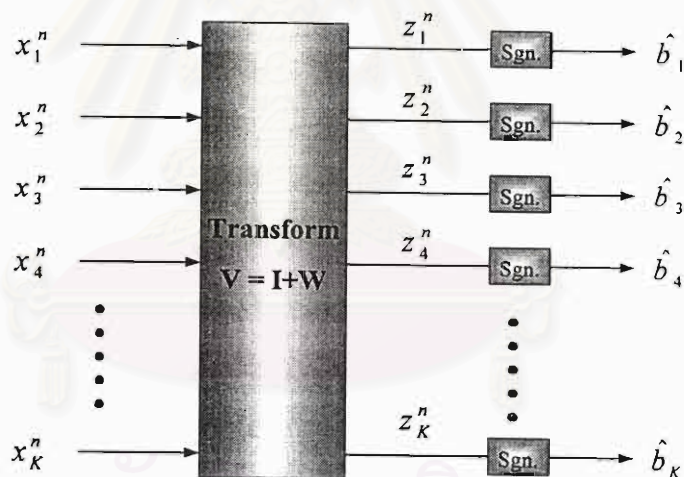
Y. Bar-Ness ได้เสนอการนำอัลกอริทึม bootstrap มาใช้กับเครื่องรับชนิดคิเคอริเทเตอร์เพื่อกำจัดสัญญาณแทรกสอดระหว่างผู้ใช้ (MAI) ในระบบ CDMA [17, 24, 25] โดยอัลกอริทึม bootstrap เป็นกระบวนการปรับอัตโนมัติแบบบอดที่ใช้ในการแยกแยะข้อมูลซึ่งเป็นอิสระจากกัน แต่อยู่ปะปนกันออกจากกัน อัลกอริทึมนี้จะทำการกำจัดค่าสหสัมพันธ์ระหว่างข้อมูลที่ไม่ต้องการ (สัญญาณแทรกสอด) กับสัญญาณออก ทำให้ในที่สุดสัญญาณออกจะเป็นอิสระจากสัญญาณแทรกสอดนั้น

3.1.1 หลักการของอัลกอริทึม bootstrap

หากสัญญาณที่ป้อนเข้าเครื่องรับเกิดจากข้อมูลที่ต้องการและข้อมูลที่ไม่ต้องการซึ่งเป็นอิสระจากกันมาประกอบกันด้วยค่าสหสัมพันธ์ค่าหนึ่ง จะทำให้สัญญาณที่เข้ามาในเครื่องรับนั้นไม่เป็นอิสระจากสัญญาณที่ไม่ต้องการ หลักการของ bootstrap คือพยายามลดค่าสหสัมพันธ์ระหว่างสัญญาณออกของเครื่องรับนี้กับข้อมูลที่ไม่ต้องการทั้งหมด เพื่อให้สัญญาณออกเหลือแต่ข้อมูลที่ต้องการเท่านั้น ซึ่งทั้งหมดนี้สามารถเขียนอธิบายเป็นสมการได้ดังนี้

เมื่อให้ระบบมีผู้ใช้ K คน ข้อมูลของผู้ใช้ทุกคนที่ส่งออกมา ณ เวลา n เป็นเวกเตอร์ B_n ขนาด $K \times 1$ ซึ่งสมาชิก b_k , $k = 1, \dots, K$ แต่ละตัวเป็นอิสระต่อกัน, ค่าสหสัมพันธ์ระหว่างข้อมูลของผู้ใช้แต่ละคนเป็นเมตริกซ์ G ขนาด $K \times K$ ที่มีสมาชิก g_{ij} ในแนวเส้นทแยงมุมเป็นหนึ่ง และถูกรบกวนด้วยสัญญาณรบกวนเกาส์เซียนแบบขาว M_n จะสามารถเขียนเวกเตอร์ของสัญญาณ X_n ขนาด $K \times 1$ ก่อนเข้าเครื่องรับได้เป็น

$$X_n = GB_n + M_n \quad (3-1)$$



รูปที่ 3.1 เครื่องแยกสัญญาณ (separator) ที่ใช้กระบวนการปรับอัตราโนมิตีโดยอัลกอริทึม bootstrap

หลักจากนั้นนำสัญญาณ X_n นี้ผ่านเข้าเครื่องรับ V ขนาด $K \times K$ ซึ่งโครงสร้างของเครื่องรับจะเป็นเมตริกซ์ I และ W บวกกันอยู่ตามรูปที่ 3.1 โดยแต่ละแถวของเมตริกซ์ V จะเสมือนเครื่องรับของผู้ใช้แต่ละคน นั่นคือเครื่องรับของผู้ใช้แต่ละคนขนาด $1 \times K$ จำนวน K เครื่องประกอบกันเป็นเครื่องรับ V และจะสามารถเขียนสมการหลังจากสัญญาณผ่านออกจากเครื่องรับได้ดังนี้

$$Z_n = VX_n = (I + W)X_n \quad (3-2)$$

โดยที่

$$V = \begin{bmatrix} 1 & v_{1,2} & v_{1,3} & \cdots & v_{1,K} \\ v_{2,1} & 1 & v_{2,3} & & v_{2,K} \\ v_{3,1} & v_{3,2} & 1 & \ddots & \vdots \\ \vdots & & & \ddots & v_{K-1,K} \\ v_{K,1} & \cdots & \cdots & v_{K,K-1} & 1 \end{bmatrix}, \quad (3-3)$$

$$W = \begin{bmatrix} 0 & w_{1,2} & w_{1,3} & \cdots & w_{1,K} \\ w_{2,1} & 0 & w_{2,3} & & w_{2,K} \\ w_{3,1} & w_{3,2} & 0 & \ddots & \vdots \\ \vdots & & & \ddots & w_{K-1,K} \\ w_{K,1} & \cdots & \cdots & w_{K,K-1} & 0 \end{bmatrix} \quad (3-4)$$

และ I เป็นเมตริกซ์เอกลักษณ์

จะสามารถเขียนสัญญาณออกจากเครื่องรับลำดับที่ k (แต่ละแถวของเมตริกซ์แทนเครื่องรับของผู้ใช้แต่ละคน) ได้เป็น

$$z_k^n = x_k^n + W_{out_k} X_{out_k}^n \quad (3-5)$$

โดยที่สัญลักษณ์ของ z_k^n และ x_k^n หมายถึงสมาชิกตัวที่ k ของเวกเตอร์ Z_n และ X_n ตามลำดับ ส่วนสัญลักษณ์ของ $Z_{out_k}^n$ และ $X_{out_k}^n$ นั้นหมายถึงเวกเตอร์ซึ่งประกอบด้วยสมาชิกทุกตัวของเวกเตอร์ Z_n และ X_n ซึ่งไม่มี z_k^n และ x_k^n อยู่ตามลำดับ และเวกเตอร์ W_{out_k} หมายถึงแถวที่ k ของเมตริกซ์ W ที่ไม่มีสมาชิก $w_{k,k}$ รวมอยู่ด้วย

จากตอนต้นที่กล่าวไปแล้วว่าหลักการของอัลกอริทึม bootstrap ก็จะทำให้สัญญาณที่ออกจากเครื่องรับที่ต้องการ เป็นอิสระจากข้อมูลที่ไม่ต้องการทั้งหมด นั่นคืออัลกอริทึม bootstrap จะทำการลดค่าสหสัมพันธ์ระหว่างสัญญาณออกกับข้อมูลที่ไม่ต้องการทั้งหมด หมายความว่าถ้าพิจารณาให้ผู้ใช้ลำดับที่ k เป็นผู้ใช้ที่สนใจจะหมายถึงทำการลดค่าสหสัมพันธ์เพื่อให้ได้

$$E[z_k^n B_{out_k}^n] = 0, \quad k = 1, \dots, K \quad (3-6)$$

โดยที่ $B_{out_k}^n = [b_1^n, b_2^n, \dots, b_{k-1}^n, b_{k+1}^n, b_{k+2}^n, \dots, b_K^n]^T$ เป็นเวกเตอร์ข้อมูลของผู้ใช้ทุกคนที่ไม่ใช่คนที่ k หรือเป็นเวกเตอร์ B_n ที่ไม่มีสมาชิก b_k^n นั้นเอง อย่างไรก็ตามค่าของ $B_{out_k}^n$ จริงๆนั้นจะไม่สามารถทราบได้ อัลกอริทึม bootstrap จะประมาณค่า $B_{out_k}^n$ ด้วยบิตที่ตรวจจับได้จากสัญญาณออกจากเครื่องรับนี้ของผู้ใช้คนอื่นๆคือ $\text{sgn}(Z_{out_k}^n)$ นั่นคือจะเป็นการปรับลด $E[z_k^n \text{sgn}(Z_{out_k}^n)]$ แทนการปรับลด $E[z_k^n B_{out_k}^n]$ และเมื่อใช้สมการ steepest descent ในการ

ปรับลด $E[z_k^n \text{sgn}(Z_{out_k}^n)]$ โดยใช้ค่าประมาณที่ขณะใดๆ แทนค่าเฉลี่ยในที่สุดก็จะได้กระบวนการปรับอัตโนมัติ bootstrap เป็น

$$W_{out_k}^{n+1} = W_{out_k}^n - \mu z_k^n \text{sgn}(Z_{out_k}^n)^T, \quad k = 1, \dots, K \quad (3-7)$$

3.1.2 ดีคอรเรเลเตอร์แบบปรับตัวเองโดยใช้อัลกอริทึม bootstrap (Adaptive Bootstrap Decorrelator)

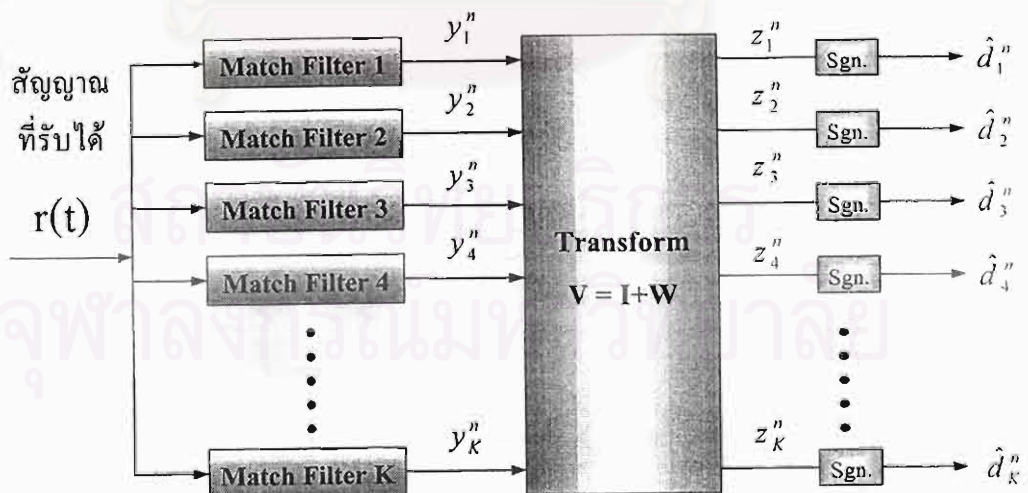
ดีคอรเรเลเตอร์ของ Y. Bar-Ness ซึ่งใช้อัลกอริทึม bootstrap ในการปรับนั้น จะใช้สัญญาณออกจากเครื่องรับแบบแมตซ์ของผู้ใช้ทุกคนเป็นสัญญาณเข้าของดีคอรเรเลเตอร์ เนื่องจากสัญญาณออกของเครื่องรับแบบแมตซ์จากสมการ (2-4) นั้นสามารถเขียนได้เป็น

$$Y_n = \Gamma \cdot A_n \cdot D_n + M_n \quad (3-8)$$

ซึ่งจะพบว่าเขียนแบบอยู่กับสมการ (3-1)

$$X_n = G B_n + M_n \quad (3-9)$$

ซึ่งเป็นสมการของสัญญาณเข้าที่จะใช้อัลกอริทึม bootstrap ทั้งนี้ Y. Bar-Ness พิจารณาว่าสัญญาณที่ต้องการคือ D_n และมองเมตริกซ์ความสัมพันธ์ G เป็น $\Gamma \cdot A_n$ ดังนั้นกระบวนการปรับอัตโนมัติเพื่อลด $E[z_k^n D_{out_k}^n]$ จะเป็นตามสมการ (3-7) เช่นกัน ซึ่งเครื่องรับดีคอรเรเลเตอร์แบบนี้สามารถแสดงได้ดังรูปที่ 3.2 และกระบวนการปรับอัตโนมัติให้กับน้ำหนักถ่วงของผู้ใช้ลำดับที่ k แสดงอยู่ในรูปที่ 3.3



รูปที่ 3.2 ดีคอรเรเลเตอร์ที่ใช้กระบวนการปรับอัตโนมัติโดยอัลกอริทึม bootstrap

เมื่อกำลังของผู้ใช้ที่มารบกวนไม่สูงหรือกรณี SNR ของผู้ใช้ที่มารบกวนมีค่าต่ำ เครื่องรับนี้จะมีสมรรถนะดีกว่าคิเคอริเตเตอร์ของ Lupas ในบทที่ 2 ซึ่งเป็นคิเคอริเตเตอร์ที่ใช้ค่าน้ำหนักถ่วงคงที่ เนื่องจากในกรณีที่ค่า SNR ของผู้ใช้ที่มารบกวนค่านั้นเครื่องรับจะกำจัด MAI ได้ไม่หมดแต่สัญญาณรบกวนที่เกิดจากเครื่องรับนี้จะลดลง [17] ดังนั้นสมรรถนะจึงดีขึ้นเพราะเมื่อกำลังของผู้ใช้ที่มารบกวนค่าความผิดพลาดส่วนใหญ่จะเกิดจากสัญญาณรบกวน และเครื่องรับนี้จะมีสมรรถนะดีเข้าสู่คิเคอริเตเตอร์ของ Lupas ในกรณีที่ SNR ของผู้ใช้ที่มารบกวนมีค่าสูงๆ ซึ่ง Y. Bar-Ness ได้พิสูจน์ไว้ใน [25] ว่าในสถานะอยู่ตัวกรณีที่ผู้ใช้คนอื่นๆที่มารบกวนมี SNR สูงจนทำให้ประมาณค่า $E[z_k^n D_{out_k}^n]$ ด้วย $E[z_k^n \text{sgn}(Z_{out_k}^n)]$ ได้แม่นยำ ค่าน้ำหนักถ่วงของเครื่องรับนี้จะถูกเข้าสู่ค่า

$$W_{out_k} = -(\Gamma_{out_k} \Gamma_{out_k}^{-1}) \quad (3-10)$$

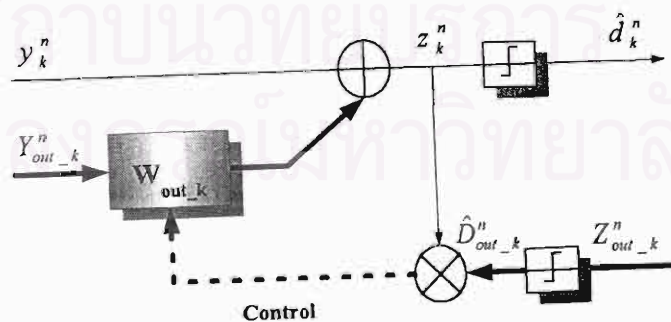
โดยที่ Γ_{out_k} หมายถึงเมตริกซ์ Γ ซึ่งไม่มีสมาชิกในแถวที่ k และคอลัมน์ที่ k อยู่ในขณะที่ Γ_{out_k} เป็นแถวที่ k ของเมตริกซ์ Γ ซึ่งไม่มีสมาชิกตัวที่ k อยู่

สัญญาณออกจากคิเคอริเตเตอร์ที่สถานะอยู่ตัวของผู้ใช้ลำดับที่ k สามารถเขียนได้เป็น

$$z_k^n = a_k^n (\Gamma_{k,k} - \Gamma_{out_k} \Gamma_{out_k}^{-1} \Gamma_{out_k}^T) d_k^n + s_k^n \quad (3-11)$$

โดยที่ s_k^n หมายถึงสัญญาณรบกวนที่ผ่านออกมาจากเครื่องรับของผู้ใช้ลำดับที่ k

พบว่าในสมการ (3-11) จะเหลือเฉพาะข้อมูลของผู้ใช้ลำดับที่ k ส่งมาคือ d_k^n เท่านั้นไม่มีข้อมูลของผู้ใช้อื่นๆป้อนมา ซึ่งก็หมายถึงคิเคอริเตเตอร์กำจัด MAI ได้หมด และในกรณีที่ผู้ใช้คนอื่นๆมี SNR ต่ำๆนั้นการประมาณ $E[z_k^n D_{out_k}^n]$ จะถูกต้องน้อยลงทำให้เหลือ MAI หรือพจน์ที่มี $D_{out_k}^n$ อยู่บางส่วน แต่จะให้สัญญาณรบกวนน้อยกว่าคิเคอริเตเตอร์ของ Lupas ทำให้คิเคอริเตเตอร์ที่ใช้อัลกอริทึม bootstrap แม้จะหักล้าง MAI ได้ไม่หมดในกรณีที่ SNR ของผู้ใช้คนอื่นๆที่มารบกวนมีค่าต่ำ ก็ยังคงให้ความผิดพลาดเนื่องจากผลรวมของการรบกวนจาก MAI ที่เหลือนี้กับสัญญาณรบกวนค่ากว่าคิเคอริเตเตอร์ของ Lupas



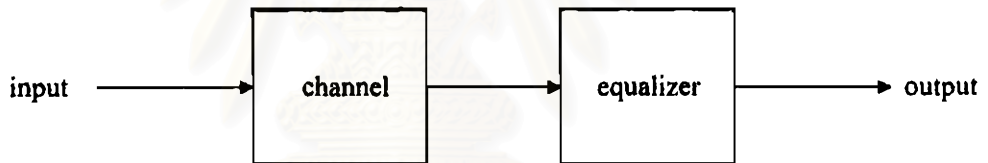
รูปที่ 3.3 กระบวนการปรับอัตโนมัติให้กับน้ำหนักถ่วงของคิเคอริเตเตอร์ของผู้ใช้ลำดับที่ k โดยอัลกอริทึม bootstrap

3.2 อัลกอริทึม ISIC (ISI Cancellation Algorithm) และหลักการลด MOE (Mean Output Energy)

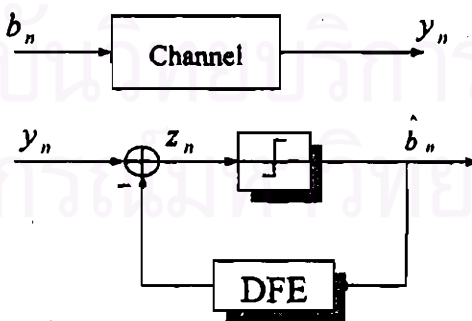
อัลกอริทึม ISIC เป็นวิธีการปรับอัตราโนมิตซึ่งถูกเสนอขึ้นมาใช้กับอิกวอไลเซอร์แบบป้อนกลับชนิดผู้ใช้เดี่ยว (single user) โดย Sylvie [26] เมื่อปีค.ศ. 1995 เพื่อกำจัดสัญญาณแทรกสอดระหว่างสัญลักษณ์ในส่วนที่เกิดจากสัญลักษณ์ที่ตรวจจับได้แล้ว (causal Intersymbol Interference, causal ISI) อัลกอริทึมนี้ใช้หลักการในการลดค่าเฉลี่ยกำลังสองของสัญญาณออกหรือเรียกว่า MOE เพื่อกำจัด ISI และกระบวนการปรับอัตราโนมิตนี้ไม่ต้องอาศัยเทรนนิงซีแควนซ์

3.2.1 อิกวอไลเซอร์และ ISI

ISI เกิดจากช่องสัญญาณส่งผ่านความถี่ต่าง ๆ ด้วยความเร็วและเฟสต่างกัน หรือเกิดในช่องสัญญาณหลายวิถี ทำให้เมื่อส่งข้อมูลไปแล้วเกิดการทับซ้อน (overlap) ของบิตข้างเคียงกันทำให้สัญญาณที่รับได้ผิดเพี้ยนไป วิธีการที่ใช้ในการแก้ไขปัญหานี้คือนำสัญญาณที่รับได้มาผ่านอิกวอไลเซอร์ก่อนตรวจจับบิตข้อมูล ดังรูปที่ 3.4



รูปที่ 3.4 แผนภาพในการนำอิกวอไลเซอร์มาแก้ปัญหา ISI



รูปที่ 3.5 อิกวอไลเซอร์แบบป้อนกลับ

อีควอลไลเซอร์เป็นวงจรกรองแบบปรับตัวได้ซึ่งสามารถนำอัลกอริทึมต่าง ๆ เช่น LMS หรือ ISIC มาปรับค่านำหนักถ่วงภายในเพื่อชดเชยหรือหักล้าง ISI สำหรับโครงสร้างของอีควอลไลเซอร์แบบป้อนกลับ (Decision Feedback Equalizer, DFE) ของ Sylvie ซึ่งใช้ในการหักล้าง ISI ที่เกิดจากบิตก่อนหน้าบิตปัจจุบันโดยนำเอาบิตข้อมูลที่ตรวจจับได้แล้ว ณ เวลาก่อนๆ ป้อนกลับไปเพื่อหักล้างการรบกวนเนื่องจากบิตข้อมูลเหล่านั้นต่อบิตข้อมูลปัจจุบัน แสดงอยู่ในรูป 3.5

3.2.2 หักการของอัลกอริทึม ISIC

Sylvie ได้เสนอหลักการของอัลกอริทึม ISIC ไว้ว่า เมื่อตั้งสมมติฐานให้การส่งสัญญาณแต่ละบิตในระบบดิจิทัลเป็นอิสระจากกันและค่าเฉลี่ยของบิตเป็น 0 จะพบว่าสัญญาณเข้าส่วนป้อนกลับซึ่งคือบิตข้อมูลในอดีตจะเป็นอิสระจากบิตข้อมูลที่ต้องการ ณ เวลาปัจจุบัน ดังนั้น ถ้าให้สัญญาณหลังการหักล้าง ISI เป็น z และบิตข้อมูลที่ส่งมาเป็น b ซึ่งมีค่าเป็น 1 หรือ -1 จะพบว่า การปรับลด MSE (Mean Square Error) ของสัญญาณออกจากอีควอลไลเซอร์แบบป้อนกลับ $E[(b_n - z_n)^2]$ จะเหมือนกับการปรับลดค่าเฉลี่ยกำลังสองของสัญญาณออกจากอีควอลไลเซอร์แบบป้อนกลับซึ่งเรียกว่า Mean Output Energy (MOE) $E[z_n^2]$ เนื่องจาก

$$\begin{aligned} MSE &= E[(b_n - z_n)^2] \\ &= E(b_n)^2 - 2E(b_n z_n) + E(z_n)^2 \\ &= 1 - 2E(b_n (y_n - GB_{before_n})) + E(z_n)^2 \end{aligned} \quad (3-12)$$

โดยที่ $\hat{B}_{before_n} = [\hat{b}_{n-1} \hat{b}_{n-2} \dots \hat{b}_{n-N}]^T$ เป็นสัญญาณเข้าส่วนป้อนกลับซึ่งเป็นเวกเตอร์ของบิตข้อมูลที่ตรวจจับได้แล้วของบิตที่ก่อนหน้าบิตปัจจุบันทั้งหมด N บิต และ G เป็นเวกเตอร์ของค่านำหนักถ่วงในส่วนป้อนกลับมีขนาด $1 \times N$ ประกอบด้วยสมาชิก g_k , $k = 1, \dots, N$ โดยที่ N เป็นจำนวนนำหนักถ่วงของส่วนป้อนกลับทั้งหมดซึ่งมักจะมีค่าไม่เกินจำนวนเส้นทางของช่องสัญญาณลบหนึ่ง

$$\begin{aligned} \frac{\partial MSE}{\partial G} &= \frac{\partial}{\partial G} \{1 - 2E(b_n (y_n - GB_{before_n})) + E(z_n)^2\} \\ \frac{\partial MSE}{\partial G} &= 0 - 2E(b_n B_{before_n}) + \frac{\partial E(z_n)^2}{\partial G} \end{aligned} \quad (3-13)$$

และจากตอนต้นสัญญาณเข้าส่วนป้อนกลับ \hat{B}_{before_n} เป็นอิสระจากข้อมูลที่ต้องการ b_n ดังนั้น $E(b_n B_{before_n}) = 0$

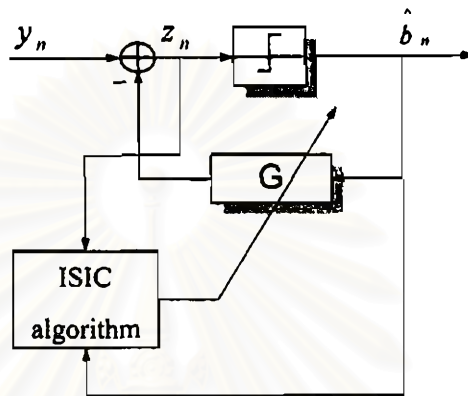
จะได้

$$\frac{\partial MSE}{\partial G} = \frac{\partial E(z_n)^2}{\partial G} = \frac{\partial MOE}{\partial G} \quad (3-14)$$

ดังนั้นการปรับลด MSE ก็เหมือนการปรับลด MOE ในกรณีที่สัญญาณเข้าส่วนป้อนกลับเป็นอิสระจากข้อมูลที่ต้องการ และเมื่อใช้สมการ stochastic gradient descent ในการปรับลดค่า MOE นี้ ในที่สุดก็จะได้กระบวนการปรับอัตโนมัติ ISIC ออกมาตามสมการ (3-15)

$$g_k^{n+1} = g_k^n + \mu(z_n \cdot \hat{b}_{n-k}) \tag{3-15}$$

บล็อกไดอะแกรมของอิกวอลไลเซอร์แบบป้อนกลับที่ใช้กระบวนการปรับอัตโนมัติโดยอัลกอริทึม ISIC แสดงอยู่ในรูปที่ 3.6



รูปที่ 3.6 บล็อกไดอะแกรมของอิกวอลไลเซอร์ที่ใช้กระบวนการปรับอัตโนมัติโดยอัลกอริทึม ISIC

สำหรับอัลกอริทึม ISIC นี้ สัญญาณเข้าส่วนป้อนกลับจะเป็นค่าตัดสินใจของบิตข้อมูลซึ่งถูกส่งมาก่อนบิตที่จะถูกตรวจจับในปัจจุบัน แต่สำหรับกระบวนการปรับที่เสนอใช้กับมัลติยูสเซอร์ติเทกชันแบบป้อนกลับในวิทยานิพนธ์นี้จะป้อนค่าตัดสินใจของผู้ใช้ลำดับก่อนหน้าผู้ใช้ที่พิจารณาซึ่งถูกส่งมา ณ เวลาเดียวกันกับบิตที่จะตรวจจับในปัจจุบันเข้าส่วนป้อนกลับแทนโดยอาศัยการหน่วงเวลาพอ ดังนั้นโครงสร้างในการใช้กระบวนการปรับอัตโนมัติจะต่างออกไป รวมทั้งน้ำหนักถ่วงจะเป็นเมตริกซ์ 2 มิติแทนที่จะเป็นเวกเตอร์มิติเดียวดังกรณีอิกวอลไลเซอร์แบบป้อนกลับ ซึ่งจะได้กล่าวในหัวข้อต่อไป อย่างไรก็ตามยังคงใช้หลักการที่ว่าเมื่อสัญญาณเข้าในส่วนป้อนกลับเป็นอิสระจากข้อมูลที่ต้องการแล้วจะสามารถปรับค่าน้ำหนักถ่วงเพื่อให้ได้ข้อมูลที่ต้องการ โดยการปรับลด MOE ได้

3.3 มัลติยูสเซอร์ดีเทกชันแบบป้อนกลับชนิดบอด

(Blind Adaptive Decorrelating Decision Feedback Multiuser Detection)

วิทยานิพนธ์นี้เสนอการนำกระบวนการปรับอัตราโนมิตีแบบบอดมาใช้แก้ปัญหาความซับซ้อนในการหา cholesky decomposition การอินเวอร์สเมตริกซ์ รวมถึงการจัดการใช้ค่าประมาณขนาดของสัญญาณในวงจรกรองป้อนกลับ

นั่นคือวิทยานิพนธ์นี้ใช้หลักการในการแก้ปัญหาด้วยการปรับค่านำหนักถ่วงของวงจรกรองทั้งสองโดยอัตราโนมิตีเช่นเดียวกับ P. Seite ในบทที่แล้ว แต่กระบวนการในการปรับอัตราโนมิตีของวิทยานิพนธ์นี้จะเป็นเงื่อนไขและวิธีการที่ต่างออกไปเพื่อให้สามารถปรับน้ำหนักถ่วงโดยไม่ต้องอาศัยเทรนนิงซีแควนซ์ได้ สำหรับ P. Seite จะทำการปรับอัตราโนมิตีน้ำหนักถ่วงของวงจรกรองทั้งสองเพื่อลดค่าเฉลี่ยกำลังสองของค่าผิดพลาดระหว่างข้อมูลจริงกับสัญญาณออกที่ได้ตามสมการ (2-27) โดยใช้อัลกอริทึม LMS แต่ในวิทยานิพนธ์นี้จะใช้กระบวนการปรับอัตราโนมิตีที่ต่างกันสำหรับวงจรกรองป้อนไปข้างหน้าและป้อนกลับ โดยจะปรับวงจรกรองป้อนไปข้างหน้าเพื่อลดค่าสหสัมพันธ์ระหว่างบิตข้อมูลที่ประมาณได้ของผู้ใช้ที่มีลำดับสูงกว่าผู้ใช้ที่พิจารณา กับสัญญาณออกของผู้ใช้ที่พิจารณาโดยใช้อัลกอริทึม bootstrap และปรับวงจรกรองป้อนกลับเพื่อลดค่าเฉลี่ยกำลังของสัญญาณออก ซึ่งเป็นหลักการเดียวกันกับอัลกอริทึม ISIC

3.3.1 แนวคิด

พิจารณาโครงสร้างของมัลติยูสเซอร์แบบป้อนกลับนี้พบว่าประกอบด้วย 2 ส่วนคือส่วนวงจรกรองป้อนไปข้างหน้ากับส่วนวงจรกรองป้อนกลับ ซึ่งวงจรกรองทั้งสองทำหน้าที่แยกกัน วงจรกรองป้อนไปข้างหน้ากำจัด MAI จากผู้ใช้ที่มีลำดับสูงกว่าผู้ใช้ที่พิจารณา ส่วนวงจรกรองป้อนกลับกำจัด MAI ส่วนที่เหลือทั้งหมด ดังนั้นในการพิจารณาจะพิจารณาแยกกัน

3.3.1.1 วงจรกรองป้อนไปข้างหน้า

วงจรกรองป้อนไปข้างหน้าจะทำหน้าที่กำจัดการรบกวนจากผู้ใช้ที่มีลำดับสูงกว่าผู้ใช้ที่พิจารณา หมายถึงถ้าวงจรกรองได้รับการปรับอย่างถูกต้องสัญญาณออกจะต้องไม่มีการรบกวนจากผู้ใช้ที่มีลำดับสูงกว่าผู้ใช้ที่พิจารณา และถ้าพิจารณาความจริงที่ว่าข้อมูลของผู้ใช้แต่ละคนไม่ขึ้นแก่กัน จะหมายความว่าถ้าปรับค่านำหนักถ่วงของวงจรกรองในส่วนนี้ถูกต้องสัญญาณออกของผู้ใช้ที่ต้องการจะต้องไม่มีค่าสหสัมพันธ์กับข้อมูลของผู้ใช้ที่มีลำดับสูงกว่า ทำให้สามารถใช้เงื่อนไข

ค่าสหสัมพันธ์นี้ในการปรับวงจรรองป้อนไปข้างหน้าได้ และกระบวนการแบบบอดที่ใช้ในการปรับให้ค่าสหสัมพันธ์นี้เป็น 0 คืออัลกอริทึม bootstrap ดังที่ได้กล่าวมาแล้วในหัวข้อที่แล้ว ดังนั้นจะสามารถนำอัลกอริทึมนี้มาใช้ปรับวงจรรองป้อนไปข้างหน้าได้ โดยอัลกอริทึม bootstrap ที่ถูกเสนอใช้ในมัดติยศเซอร์คิเทกชันแบบคิโคริเตอร์จะกำจัดค่าสหสัมพันธ์ระหว่างสัญญาณที่ต้องการกับข้อมูลของผู้ใช้คนอื่นทุกคน แต่ในกรณีนี้เป็นการนำมาใช้ในการกำจัดค่าสหสัมพันธ์ของสัญญาณที่ต้องการกับข้อมูลของผู้ใช้ที่มีลำดับสูงกว่าเท่านั้น

ดังนั้นจะนำเอาสัญญาณออกจากเครื่องรับแบบแมคซ์หลังจากผ่านการเรียงลำดับตามความแรงที่มาถึงแล้วมาผ่านเข้าเครื่องรับ V ซึ่งโครงสร้างของเครื่องรับจะเป็นเมตริกซ์ I และ W บวกกันอยู่ตามรูปที่ 3.7 ซึ่งแถวแต่ละแถวของเมตริกซ์ V นั้นสามารถมองได้ว่าเป็นวงจรรองป้อนไปข้างหน้าของผู้ใช้แต่ละคน หรือกล่าวได้ว่าเมตริกซ์ V ประกอบขึ้นจากวงจรรองป้อนไปข้างหน้าทั้งหมด K ชุด และจะสามารถเขียนสมการหลังจากสัญญาณผ่านออกจากเครื่องรับได้ดังนี้

$$Z_n = VY_n = (I + W)Y_n \quad (3-16)$$

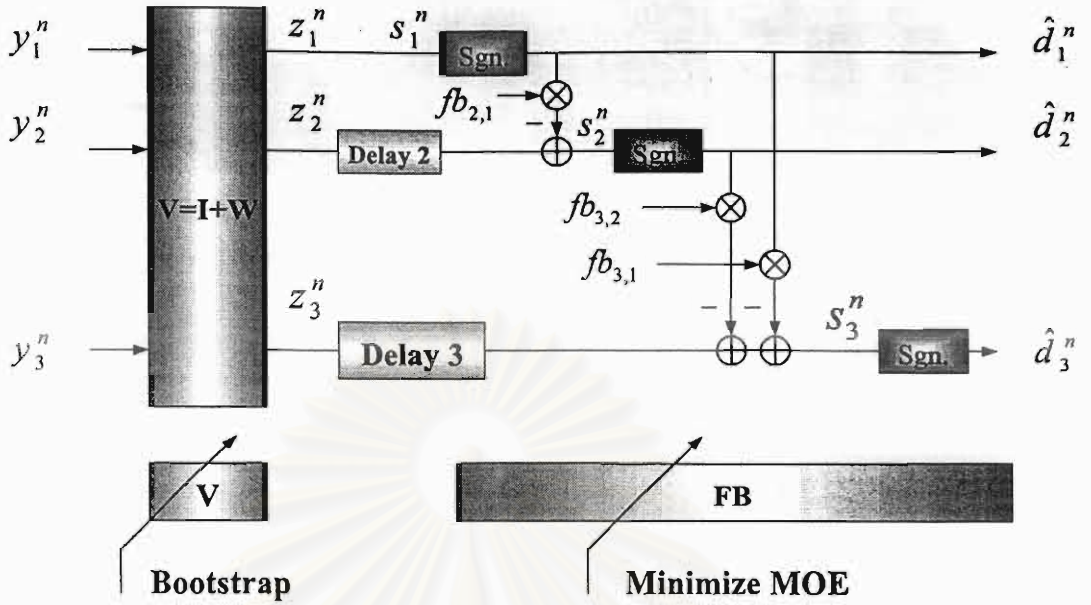
โดยที่

$$V = \begin{bmatrix} 1 & w_{1,2} & w_{1,3} & \cdots & w_{1,K} \\ 0 & 1 & w_{2,3} & & w_{2,K} \\ 0 & 0 & 1 & \ddots & \vdots \\ \vdots & & & \ddots & w_{K-1,K} \\ 0 & \cdots & \cdots & 0 & 1 \end{bmatrix}, \quad (3-17)$$

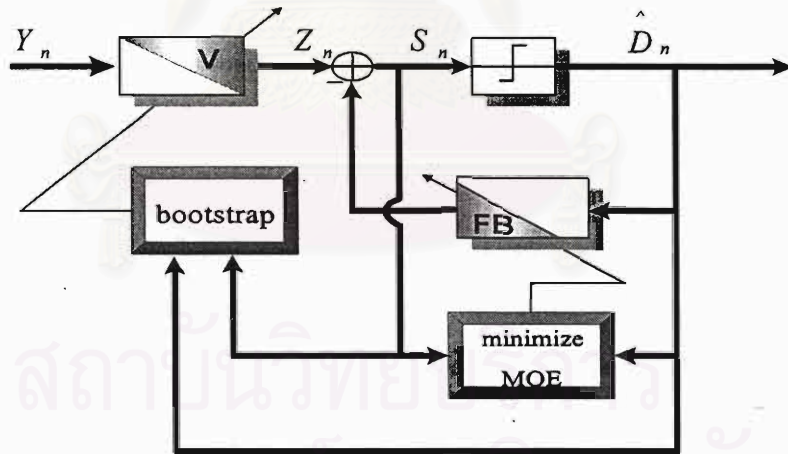
$$W = \begin{bmatrix} 0 & w_{1,2} & w_{1,3} & \cdots & w_{1,K} \\ 0 & 0 & w_{2,3} & & w_{2,K} \\ 0 & 0 & 0 & \ddots & \vdots \\ \vdots & & & \ddots & w_{K-1,K} \\ 0 & \cdots & \cdots & 0 & 0 \end{bmatrix} \quad (3-18)$$

และ I เป็นเมตริกซ์เอกลักษณ์

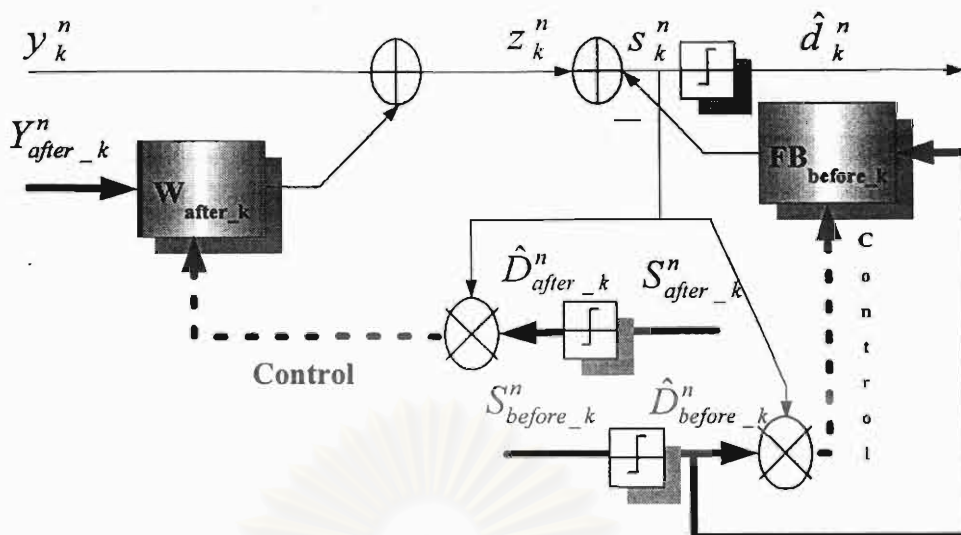
สังเกตว่าเนื่องจากในกรณีนี้ bootstrap กำจัดเฉพาะ MAI ซึ่งเกิดจากผู้ใช้ที่มีลำดับสูงกว่าผู้ใช้ที่พิจารณาเท่านั้น ดังนั้นเมตริกซ์ W ในสมการ (3-18) จึงมีสมาชิกเฉพาะเหนือแนวเส้นทะแยงมุมเท่านั้นซึ่งต่างจากกรณีคิโคริเตอร์ของ Y . Bar-Ness ซึ่ง W ในสมการ (3-4) มีสมาชิกทั่วทั้งเมตริกซ์ยกเว้นแนวทะแยงมุม หรือกล่าวได้ว่าสำหรับในกรณีนี้สัญญาณที่ใช้ใน V จะเป็นสัญญาณออกจากเครื่องรับแบบแมคซ์ของผู้ใช้ที่พิจารณาและของผู้ใช้ที่มีลำดับสูงกว่าผู้ใช้ที่พิจารณาเท่านั้น



รูปที่ 3.7 โครงสร้างของมัลติยูตเซอร์ทีเทกชันแบบป้อนกลับชนิดบอดในกรณีผู้ใช้ 3 คน



รูปที่ 3.8 โครงสร้างของกระบวนการปรับอัตโนมัติของมัลติยูตเซอร์ทีเทกชันแบบป้อนกลับชนิดบอด



รูปที่ 3.9 กระบวนการปรับน้ำหนักถ่วงของผู้ใช้ลำดับที่ k .
สำหรับมัลติยูสเซอร์ดีเทกชันแบบป้อนกลับชนิดบอด

สัญญาณออกจากวงจรกรองป้อนไปข้างหน้าของผู้ใช้ลำดับที่ k จะเขียนได้เป็น

$$z_k^n = y_k^n + W_{after_k} Y_{after_k}^n \quad (3-19)$$

โดยที่สัญลักษณ์ z_k^n และ y_k^n หมายถึง สมาชิกตัวที่ k ของเวกเตอร์ Z_k และ Y_k ตามลำดับ ส่วนสัญลักษณ์ $Z_{after_k}^n$ และ $Y_{after_k}^n$ หมายถึง เวกเตอร์ซึ่งประกอบด้วยสมาชิกทุกตัวของเวกเตอร์ Z_k และ Y_k หลังจากตัวที่ k เป็นต้นไป และเวกเตอร์ W_{after_k} หมายถึงแถวที่ k ของเมตริกซ์ W โดยที่ไม่มีสมาชิกตั้งแต่ตัวที่ $w_{k,1}$ ถึงตัวที่ $w_{k,k}$ รวมอยู่ด้วย

จากตอนต้นที่กล่าวไปแล้วว่าหลักการของอัลกอริทึม bootstrap จะทำให้สัญญาณที่ออกจากเครื่องรับนั้นเป็นอิสระจากข้อมูลที่ไม่ต้องการ นั่นคืออัลกอริทึม bootstrap จะทำการลดค่าสหสัมพันธ์ระหว่างสัญญาณออกกับข้อมูลที่ไม่ต้องการทั้งหมด ถ้าพิจารณาผู้ใช้ลำดับที่ k ข้อมูลที่ไม่ต้องการในขณะนี้คือข้อมูลจากผู้ใช้ที่มีลำดับสูงกว่าผู้ใช้ลำดับที่ k ทั้งหมด ดังนั้นในกรณีนี้คือทำการลดค่าสหสัมพันธ์เพื่อให้ได้

$$E[z_k^n D_{after_k}^n] = 0, \quad k = 1, \dots, K \quad (3-20)$$

โดยที่ $D_{after_k}^n = [d_{k+1}^n \ d_{k+2}^n \ \dots \ d_K^n]^T$

แต่เนื่องจากเครื่องรับนี้ประกอบไปด้วยวงจรกรอง 2 ตัวด้วยกันและสัญญาณออกของมัลติยูสเซอร์ดีเทกชันจริงๆจะเป็นส่วนที่หักลบด้วยส่วนป้อนกลับไปแล้วคือ s_k^n ไม่ใช่ z_k^n ดังนั้นจะทำการปรับเพื่อให้ได้

$$E[s_k^n D_{after_k}^n] = 0, \quad k = 1, \dots, K \quad (3-21)$$

และทำนองเดียวกันการประมาณ $D_{after_k}^n$ ด้วย $\text{sgn}(Z_{after_k}^n)$ จะถูกเปลี่ยนเป็นประมาณ $D_{after_k}^n$ ด้วย $\text{sgn}(S_{after_k}^n)$ ซึ่งจะเชื่อถือได้มากกว่าเนื่องจาก s นั้นเป็นสัญญาณที่มีการหักล้าง MAI ทั้งหมดแต่ Z เป็นสัญญาณที่มีการหักล้าง MAI บางส่วนเท่านั้น สรุปแล้วก็คือจะใช้การปรับลด $E[s_k^n \text{sgn}(S_{after_k}^n)]$ แทน $E[z_k^n D_{after_k}^n]$ และเมื่อทำการปรับลด $E[s_k^n \text{sgn}(S_{after_k}^n)]$ ด้วยสมการ steepest descent โดยประมาณค่าเฉลี่ยด้วยค่าที่ขณะใดๆ ในที่สุดก็จะได้วิธีการปรับอัดโนมัลติ bootstrap สำหรับวงจรกรองป้อนไปข้างหน้าของผู้ใช้ลำดับที่ k เป็น

$$W_{after_k}^{n+1} = W_{after_k}^n - \mu s_k^n \text{sgn}(S_{after_k}^n)^T, \quad k = 1, \dots, K \quad (3-22)$$

เมื่อพิจารณาที่สภาวะอยู่ตัวในกรณีที่ผู้ใช้ลำดับสูงกว่าผู้ใช้ที่พิจารณามีค่า SNR สูงพอสมควรซึ่งทำให้ $E[s_k^n \text{sgn}(S_{after_k}^n)] = E[z_k^n D_{after_k}^n] = 0$ นั้น จะสามารถพิสูจน์ได้ว่าค่าน้ำหนักถ่วงของวงจรกรองป้อนไปข้างหน้าจะเข้าสู่ค่าตามสมการ (3-23) (สำหรับรายละเอียดของการพิสูจน์ได้แสดงอยู่ในภาคผนวก ก)

$$W_{after_k} = -(\Gamma_{after_k} \Gamma_{after_k}^{-1}) \quad (3-23)$$

โดยที่ Γ_{after_k} หมายถึง เมตริกซ์ซึ่งประกอบด้วยสมาชิกหลังจากแถวที่ k และคอลัมน์ที่ k ของเมตริกซ์ Γ เป็นต้นไป ในขณะที่ $\Gamma_{after_k}^{-1}$ เป็นแถวที่ k ของเมตริกซ์ Γ ซึ่งมีสมาชิกหลังจากตัวที่ k เป็นต้นไป

และจากภาคผนวก ก สัญญาณออกจากวงจรกรองป้อนไปข้างหน้าที่สภาวะอยู่ตัวของผู้ใช้ลำดับที่ k สามารถเขียนได้เป็น

$$\begin{aligned} z_k^n &= a_k^n (\Gamma_{k,k} - \Gamma_{after_k} \Gamma_{after_k}^{-1} \Gamma_{after_k}^T) d_k^n \\ &\quad + (\Gamma_{before_k} - \Gamma_{after_k} \Gamma_{after_k}^{-1} \Gamma_{after_k \times before_k}) A_{before_k}^n D_{before_k}^n \\ &\quad + \xi_k^n \end{aligned} \quad (3-24)$$

โดยที่ ξ_k^n หมายถึงสัญญาณรบกวนที่ผ่านออกมาจากวงจรกรองป้อนไปข้างหน้าของผู้ใช้ลำดับที่ k ซึ่งมีค่าสหสัมพันธ์ตัวเองเป็น $E(\xi_k^2) = (\Gamma_{k,k} - \Gamma_{after_k} \Gamma_{after_k}^{-1} \Gamma_{after_k}^T) \sigma^2$

และ $\Gamma_{after_k \times before_k}$ หมายถึงเมตริกซ์ Γ ซึ่งมีสมาชิกเฉพาะหลังแถวที่ k และก่อนหน้าคอลัมน์ที่ k

จากสมการ (3-24) พบว่า MAI จากผู้ใช้ที่มีลำดับสูงกว่าผู้ใช้ที่พิจารณาหรือเทอมที่มี $d_j^n, j > k$ นั้นถูกกำจัดไปแล้วเมื่อผ่านออกมาจากวงจรกรองป้อนไปข้างหน้า (เหลือแต่ส่วนของข้อมูลผู้ใช้ที่ต้องการ d_k^n และส่วนของข้อมูลผู้ใช้ที่มีลำดับต่ำกว่าผู้ใช้ที่ต้องการ $D_{before_k}^n$ เท่านั้น)

3.3.1.2 วงจรกรองป้อนกลับ

จากหลักการของมัลติยูสเซอร์ตีเทกชันแบบป้อนกลับของ A. Duel-Hallen นั้นจะใช้ส่วนป้อนกลับนี้เป็นส่วนกำจัด MAI ซึ่งมาจากผู้ใช้ที่มีลำดับต่ำกว่าผู้ใช้ที่ต้องการ โดยนำข้อมูลที่ตัดสินใจปิดไปแล้วของผู้ใช้ที่มีลำดับต่ำกว่าป้อนกลับมาหักล้าง MAI ให้กับผู้ใช้ที่กำลังพิจารณาอยู่ และจากสมการ (3-24) ซึ่งเป็นสมการสัญญาณออกจากวงจรกรองป้อนไปข้างหน้าเมื่อหักล้าง MAI จากผู้ใช้คนที่มีความถี่สูงกว่าหมดไปเหลือแต่ MAI จากผู้ใช้ที่มีลำดับต่ำกว่า พบว่าถ้าส่วนป้อนกลับสามารถหักล้าง MAI ส่วนที่เหลือได้หมด สัญญาณที่ผ่านส่วนป้อนกลับแล้วจะเหลือเฉพาะพจน์แรกของสมการ (3-24) เท่านั้น ก็จะเหลือเป็นค่าคงที่คูณกับข้อมูลที่ส่งมา ดังนี้

$$s_k'' = a_k'' (\Gamma_{k,k} - \Gamma_{\text{after}_k} \Gamma_{\text{after}_k}^{-1} \Gamma_{\text{after}_k}^T) d_k'' + \xi_k'' \quad (3-25)$$

ดังนั้น ในการปรับน้ำหนักถ่วงของวงจรกรองป้อนกลับจะใช้หลักในการปรับให้ scaled mean-square error (SMSE) ซึ่งมีนิยามเป็นค่าเฉลี่ยกำลังสองของค่าผิดพลาดระหว่างผลคูณของค่าคงที่กับข้อมูลกับสัญญาณออกก่อนเข้าตัดสินใจ (E{ ค่าคงที่ \times ข้อมูลที่ส่งมา - สัญญาณออกก่อนเข้าตัดสินใจ })² มีค่าต่ำสุด หรือทำให้สัญญาณออกใกล้เคียงสมการ (3-25) มากที่สุดนั่นเอง

ถ้ากำหนดให้

$$\alpha_k = (\Gamma_{k,k} - \Gamma_{\text{after}_k} \Gamma_{\text{after}_k}^{-1} \Gamma_{\text{after}_k}^T) \quad (3-26)$$

จะสามารถเขียนสมการของค่าคงที่ได้เป็น

$$\beta_k = \alpha_k a_k'' \quad (3-27)$$

ดังนั้น สามารถเขียนสมการ SMSE ของผู้ใช้ลำดับที่ k ได้เป็น

$$SMSE_k = E[(\beta_k d_k'' - s_k'')^2] \quad (3-28)$$

อย่างไรก็ตามค่าของข้อมูลที่ส่งมานั้นจะสามารถทราบได้เมื่อมีการส่งเทรนนิ่งซีแควนซ์เท่านั้น แต่ในที่นี้ไม่ต้องการส่งเทรนนิ่งซีแควนซ์ ดังนั้นจึงไม่ทราบค่าข้อมูลนี้ และไม่สามารถปรับลดค่า SMSE โดยใช้สมการ (3-28) ในการปรับน้ำหนักถ่วงได้โดยตรง ซึ่งจากหลักการของอัลกอริทึม ISIC ที่ใช้ในอิควอลไลเซอร์แบบป้อนกลับหัวข้อที่แล้วพบว่าโครงสร้างแบบป้อนกลับมีคุณสมบัติที่สำคัญอย่างหนึ่งคือ ถ้าสัญญาณเข้าในแต่ละตัวของวงจรกรองป้อนกลับเป็นอิสระจากข้อมูลที่ต้องการ การลด SMSE ก็จะเหมือนการลดค่าเฉลี่ยกำลังของสัญญาณออก (MOE: mean output energy) และในที่นี้สัญญาณเข้าแต่ละตัวของวงจรกรองป้อนกลับคือบิตข้อมูลที่ตรวจจับได้ของผู้ใช้ที่มีลำดับต่ำกว่าผู้ใช้ที่พิจารณาซึ่งเป็นอิสระจากบิตข้อมูลของผู้ใช้ที่พิจารณา ฉะนั้นในกรณีนี้จะ

สามารถปรับค่าน้ำหนักถ่วงในส่วนป้อนกลับโดยการลด MOE ได้เช่นเดียวกับอัลกอริทึม ISIC ซึ่งจะได้พิสูจน์ต่อไป

การลด MOE นี้ไม่จำเป็นต้องอาศัยค่าเทรนนิ่งซีแวนซ์ จะใช้เฉพาะค่าสัญญาณก่อนเข้าตัดสินบิตเท่านั้น และสามารถหาสมการที่ใช้ในการลด MOE ได้จากสมการ stochastic gradient descent เช่นเดียวกับสมการ ISIC ดังนี้

เริ่มจากกระจายสมการ (3-28) จะได้

$$SMSE_k = (\beta_k)^2 E(d_k^n)^2 - 2\beta_k E(d_k^n s_k^n) + E(s_k^n)^2 \quad (3-29)$$

$$SMSE_k = (\beta_k)^2 E(d_k^n)^2 - 2\beta_k E[d_k^n (V_k^n \cdot Y_n - FB_k^n \cdot \hat{D}_{k-1}^n)] + E(s_k^n)^2 \quad (3-30)$$

โดยที่ $\hat{D}_{k-1}^n = [d_1^n \dots d_{k-1}^n 0 \dots 0]^T$,

เมตริกซ์ FB_n เป็นน้ำหนักถ่วงของวงจรกรองป้อนกลับที่เวลา n ซึ่งแต่ละแถวของเมตริกซ์ FB_n จะแทนวงจรกรองป้อนกลับของผู้ใช้แต่ละคน หรือกล่าวได้ว่าวงจรกรองป้อนกลับ K ชุดประกอบกันเป็นเมตริกซ์ FB_n

$$FB_n = \begin{bmatrix} 0 & \dots & \dots & \dots & 0 \\ fb_{2,1}^n & 0 & \dots & \dots & 0 \\ fb_{3,1}^n & fb_{3,2}^n & 0 & \dots & 0 \\ \vdots & & & \ddots & 0 \\ fb_{k,1}^n & \dots & \dots & fb_{k,k-1}^n & 0 \end{bmatrix} = \begin{bmatrix} FB_1^n \\ FB_2^n \\ FB_3^n \\ \vdots \\ FB_k^n \end{bmatrix} \quad (3-31)$$

และ

$$s_k^n = V_k^n \cdot Y_n - FB_k^n \cdot \hat{D}_{k-1}^n \quad (3-32)$$

จากคุณสมบัติที่ข้อมูลของผู้ใช้แต่ละคนเป็นอิสระต่อกัน และส่งเป็นบิต +1 หรือ -1 โดยมีค่าเฉลี่ยเป็น 0 หรือเขียนได้ว่า $E(d_j^n d_k^n) = 0$, $E(d_j^n d_j^n) = 0$ เมื่อ $j \neq k$ และ $E(d_k^n d_k^n) = 1$ จะทำให้ได้

$$\begin{aligned} \frac{\partial SMSE}{\partial FB_k^n} &= \frac{\partial}{\partial FB_k^n} \{ (\beta_k)^2 E[(d_k^n)^2] - 2\beta_k E[d_k^n (V_k^n \cdot Y_n - FB_k^n \cdot \hat{D}_{k-1}^n)] + E[(s_k^n)^2] \} \\ \frac{\partial SMSE}{\partial FB_k^n} &= 0 + 2\beta_k E(d_k^n \hat{D}_{k-1}^n) + \frac{\partial E[(s_k^n)^2]}{\partial FB_k^n} \end{aligned} \quad (3-33)$$

เนื่องจากสัญญาณเข้าส่วนป้อนกลับคือ \hat{D}_{k-1}^n เป็นอิสระจากข้อมูลที่ต้องการ d_k^n จึงทำให้พจน์กลางในสมการ (3-33) มีค่าเป็น 0 เหลือแต่พจน์สุดท้ายซึ่งเป็นส่วนของ MOE ดังนี้

$$\frac{\partial SMSE}{\partial FB_k^n} = \frac{\partial E[(s_k^n)^2]}{\partial FB_k^n} = \frac{\partial MOE}{\partial FB_k^n} \quad (3-34)$$

ซึ่งสมการ (3-34) หมายถึงการลด SMSE เหมือนกับการลดค่าเฉลี่ยกำลังของสัญญาณออกจากมัลติยูสเซอร์ทีเทกชันแบบป้อนกลับ (MOE) และจะหากระบวนการปรับลด MOE ได้จาก

$$\frac{\partial MOE}{\partial FB_k^n} = -2s_k^n \hat{D}_{k-1}^n \quad (3-35)$$

ดังนั้นเมื่อใช้สมการ stochastic gradient adaptation rule จะสามารถหากระบวนการปรับน้ำหนักถ่วงแบบบอดของวงจรกรองป้อนกลับของผู้ใช้ลำดับที่ k ได้เป็น [27]

$$FB_k^{n+1} = FB_k^n + \mu(s_k^n \cdot \hat{D}_{k-1}^n) \quad (3-36)$$

ซึ่งจะพบว่าเป็นสมการที่มีลักษณะคล้าย ISIC algorithm เพียงแต่มี มิติต่างกัน, สัญญาณเข้าที่ใช้ขึ้นกับลำดับที่ของผู้ใช้ และสัญญาณเข้าเป็นข้อมูลที่ได้จากสัญญาณ ณ เวลาเดียวกันกับสัญญาณที่จะถูกหักล้างด้วยเพียงแต่สัญญาณนั้นถูกหน่วงเวลาเอาไว้

สัญญาณก่อนจะเข้าไปตัดสินใจที่เวลา n สามารถเขียนได้ดังนี้

$$s_k^n = V_k^n \cdot Y_n - FB_k^n \cdot \hat{D}_{k-1}^n \quad (3-37)$$

และจากภาคผนวก ค สามารถเขียนค่าน้ำหนักถ่วงของวงจรกรองป้อนกลับในกรณีอุดมคติได้เป็น

$$FB_{before_k}^n = (\Gamma_{before_k} - \Gamma_{after_k} \Gamma_{after_k}^{-1} \Gamma_{after_k \times before_k}) A_{before_k}^n \quad (3-38)$$

โดยที่ $FB_{before_k}^n$ เป็นแถวที่ k ของเมตริกซ์ FB ซึ่งมีสมาชิกทุกตัวก่อนหน้าตัวที่ k หรือกล่าวได้ว่าเป็นค่าของน้ำหนักถ่วงของวงจรกรองป้อนกลับที่ไม่เป็น 0 ของผู้ใช้ลำดับที่ k นั้นเอง

สรุปได้ว่า ในส่วนของวงจรกรองป้อนไปข้างหน้า จะถูกปรับน้ำหนักถ่วงเพื่อลดค่าสหสัมพันธ์ระหว่างสัญญาณออกของผู้ใช้ที่ต้องการกับข้อมูลของผู้ใช้ที่มีลำดับสูงกว่าโดยใช้อัลกอริทึม bootstrap ตามสมการ (3-22) ส่วนที่วงจรกรองป้อนกลับ จะปรับน้ำหนักถ่วงเพื่อลด MOE โดยหลักการเดียวกับอัลกอริทึม ISIC ตามสมการ (3-36) บล็อกโคแอดแดรมของกระบวนการที่เสนอขึ้นทั้งหมดแสดงอยู่ในรูปที่ 3.7 ถึง 3.9

3.3.2 สมรรถนะที่สถานะอยู่ตัวในกรณีอุดมคติ

เมื่อพิจารณาที่สถานะอยู่ตัวกรณีอุดมคติ โดยตั้งสมมุติฐานว่าการประมาณ $D_{after_k}^n$ ด้วย $\text{sgn}(S_{after_k}^n)$ ถูกต้อง จะทำให้วงจรกรองป้อนไปข้างหน้าสามารถกำจัด MAI ของผู้ใช้ที่มีลำดับสูงกว่าได้หมดที่สถานะอยู่ตัว รวมทั้งตั้งสมมุติฐานว่า บิตข้อมูลที่ตรวจจับไปแล้วของผู้ใช้คนอื่นๆ

ถูกต้องทุกคนทำให้วงจรกรองป้อนกลับสามารถกำจัด MAI ที่เหลือได้หมด ภายใต้สมมุติฐานเหล่านี้จะพบว่าสัญญาณออกจากมัลติเพลกซ์เซอร์ดีเทกชันแบบป้อนกลับชนิดบอดของผู้ใช้ลำดับที่ k จะเขียนได้เป็น

$$s_k'' = \alpha_k a_k^n d_k'' + \xi_k'' \quad (3-39)$$

โดยที่ $E(\xi_k^2) = \alpha_k \sigma^2$

ดังนั้นผู้ใช้ลำดับที่ k มีค่าความน่าจะเป็นที่จะเกิดความผิดพลาดในการตรวจจับบิตข้อมูลเป็น

$$Pe_k(\text{blind DDFMD}) = Q\left(\sqrt{\frac{(\alpha_k a_k^n)^2}{\alpha_k \sigma^2}}\right) = Q\left(\sqrt{\frac{\alpha_k (a_k^n)^2}{\sigma^2}}\right) \quad (3-40)$$

และพบว่า $f_{k,k}$ ซึ่งหาได้จากการทำ cholesky decomposition จะเป็นค่าเดียวกันกับรากที่สองของ α_k ในสมการ (3-26) ซึ่งตัวอย่างการเปรียบเทียบค่า $(f_{k,k})^2$ และ α_k ได้แสดงอยู่ในตารางที่ ง.1 ในภาคผนวก ง ดังนั้นจากสมการ (3-40) และสมการ (2-22) พบว่าสมรรถนะที่สภาวะอยู่ตัวในกรณีอุดมคติของมัลติเพลกซ์เซอร์ดีเทกชันแบบป้อนกลับชนิดบอดและชนิดค่าน้ำหนักถ่วงคงที่จะมีค่าเท่ากัน แต่อย่างไรก็ตามในกรณีนี้เป็นกรณีอุดมคติ ดังนั้นในกรณีทั่วไปค่า BER จะสูงกว่าสมการนี้ และในกรณีของมัลติเพลกซ์เซอร์ดีเทกชันแบบป้อนกลับชนิดค่าน้ำหนักถ่วงคงที่นั้นการที่ข้อมูลที่ตรวจจับได้ของผู้ใช้คนก่อนหน้าไม่ถูกต้องจะส่งผลให้หักล้าง MAI ผิดไป แต่ในกรณีของมัลติเพลกซ์เซอร์ดีเทกชันแบบป้อนกลับชนิดบอดนั้นนอกจากจะส่งผลให้หักล้าง MAI ผิดไปแล้วยังส่งผลให้กระบวนการปรับอัตราโน้มติมีความผิดพลาดด้วยเนื่องจากในกระบวนการปรับอัตราโน้มติมีการใช้ค่าบิตข้อมูลที่ตัดสินใจไปแล้วของผู้ใช้คนอื่นๆในกระบวนการปรับค่าน้ำหนักถ่วงด้วย